

ности метода. В результате измерений получены следующие значения r^2 : $0,98628 \pm 0,00004$; $0,98644 \pm 0,00004$; $0,98623 \pm 0,00004$. Средний разброс в пределах комбинаций получился $0,0004$, между комбинациями $-0,00008$. Ясно, что реальная ошибка измерения может быть, вообще говоря, больше. Как видно из таблицы, для коэффициента отражения $0,99$ возможное в эксперименте рассогласование дает ошибку порядка 10^{-4} . Такую же ошибку даст возможная разьюстировка интерферометра. Если считать, что погрешность измерительной схемы (ФЭУ, самописца и других) составляет 3% , то это даст ошибку $3 \cdot 10^{-4}$. Таким образом, суммарная ошибка составляет $5 \cdot 10^{-4}$.

ЛИТЕРАТУРА

1. М. Борн, Э. Вольф. Основы оптики. М. «Наука», 1970. 855 с.
2. Х. Когельник. Коэффициенты связи и коэффициенты преобразования волн в оптических системах.— В кн.: Квазиоптика. (Избранные доклады на международном симпозиуме.) М., «Мир», 1966, с. 210—225.
3. П. В. Короленко. Возбуждение собственных типов колебаний резонатора Фабри — Перо внеосевой TEM_{00} -волной.— «Опт. и спектр.», 1971, т. 30, вып. 3, с. 496—502.

Поступило в редакцию 20 мая 1975 г.

УДК 621.375.8

В. П. БЕССМЕЛЬЦЕВ, В. Н. БУРНАШОВ,
В. В. ВОРОБЬЕВ, В. А. ХАНОВ
(Новосибирск)

ФАЗОВАЯ АВТОПОДСТРОЙКА РАЗНОСТИ ЧАСТОТ ДВУХ ОКГ

Для ряда применений требуется поддерживать постоянной или перестраивать по определенному закону разность частот излучения двух оптических квантовых генераторов (ОКГ). Обычно это осуществляется с помощью схем автоподстройки с частотными детекторами [1—3]. Однако в случае перестройки разности частот по определенному закону желательно иметь систему автоподстройки с фазовым детектором (ФАПЧ), так как перестройка частотного детектора сопряжена с определенными трудностями. В работе [3] указано, что инерционность исполнительного устройства (пьезокерамики) и широкий спектр частот сигнала рассогласования в случае применения в системе АПЧ обычных фазовых детекторов приводит к возбуждению системы. В [4] дано краткое описание системы ФАПЧ (данных по фазовому детектору не приводится), кроме того, эта система имеет малый диапазон перестройки частоты регулируемого лазера.

В предлагаемом сообщении описывается система ФАПЧ с диапазоном перестройки частоты регулируемого лазера более 400 МГц, что необходимо при подстройке частоты бинения лазеров типа ЛГ-32 без специальных мер акусто- и виброзащиты. В системе использован фазовый детектор, подобный описанному в работе [5].

Блок-схема системы ФАПЧ представлена на рис. 1, где 1, 2 — опорный и подстраиваемый лазеры; 3 — система зеркал, совмещающих излучения лазеров на поверхности

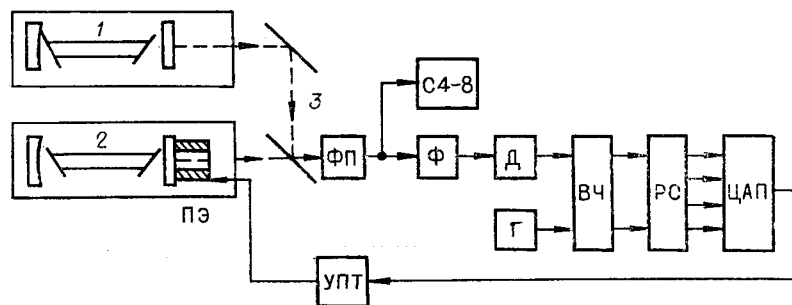


Рис. 1.

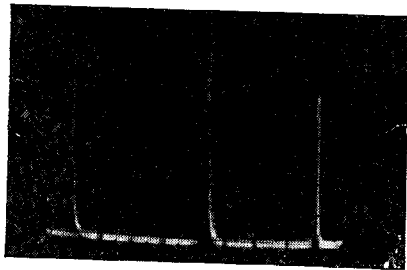


Рис. 2.

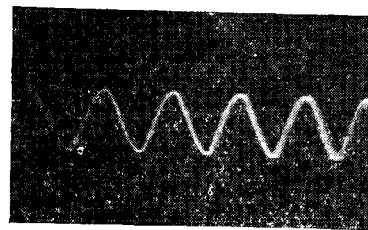


Рис. 3.

фотоприемника; ФП — фотоприемник с усилителем; Ф — формирователь импульсов из синусоидального сигнала; Д — двоичный делитель частоты с коэффициентом деления 8; ВЧ — вычитатель частот, подобный описанному в работе [6]; Г — генератор; РС — реверсивный счетчик; ЦАП — цифроаналоговый преобразователь; УПТ — усилитель постоянного тока; ПЭ — пьезоэлемент, на который подается управляющее напряжение; С4-8 — анализатор спектра.

Лазеры с зеркалами и фотоприемником были смонтированы на дюралюминиевой плите. Фотоприемник был выполнен на фотодиоде ФД-10КП и имел вместе с усилителем полосу пропускания 15 МГц при уровне сигнала на выходе около 1,5 В. Формирователь представлял собой триггер Шмитта и был выполнен на м/с 1ЛБ303. Частота сформированных импульсов делилась на два счетным триггером на двух м/с 1ЛБ303 и далее на четыре с помощью м/с 183ИЕ5 для обеспечения нормальной работы вычитателя частот при больших частотах сигнала. На выходе вычитателя частот получалась разность чисел импульсов, поступающих с выходов делителя и генератора. Эта разностная последовательность импульсов поступала на вход РС с соответствующим знаком. Код реверсивного счетчика преобразовывался ЦАПом в линейное напряжение, усиливавшееся УПТ и управляемое пьезокерамикой лазера. Число разрядов реверсивного счетчика и ЦАПа — 10, пределы выходного напряжения ЦАПа — 0÷—5 В, что соответствовало изменению напряжения на выходе УПТ, равному 110 В. Чувствительность используемой пьезокерамики составляла 4 МГц/В. Таким образом, полоса удержания оказалась равной 440 МГц. Пределы перестройки сигнала биений составляли 0,8÷12 МГц. Девиация частоты сигнала биений, измеренная анализатором спектра, оказалась равной 300 кГц. На рис. 2 представлен сигнал анализатора спектра С4-8 (средний пик — сигнал, слева и справа — метки), где одно большое деление соответствует 1 МГц, а на рис. 3 — сигнал с выхода ФП.

В заключение следует отметить, что описанная система была использована для снятия частотных характеристик фотоприемника с усилителем.

ЛИТЕРАТУРА

1. P. Rabinowitch, J. Latowrette, G. Gould. AFC optical heterodyne detector.— "Proc. of the IEEE", 1963, vol. 51, № 5, p. 857—858.
2. Р. Тарг, В. Д. Буш. Автоматическая подстройка частоты лазерного гетеродина.— «Зарубеж. радиоэлектроника», 1966, № 10, с. 109—117.
3. И. П. Коршунов. Система автоматической подстройки частоты биений двух ОКГ.— «ПТЭ», 1969, № 3, с. 180—182.
4. J. T. Ruseio. Phase and amplitude measurements of coherent optical wavefronts.— "The Bell Syst. Techn. J.", 1966, vol. XLV, № 9, p. 1583—1597.
5. В. П. Бессмелльцев, В. В. Воробьев, В. А. Ханов. Стабилизация разностной частоты двухчастотного лазера.— «Автометрия», 1975, № 5, с. 94—96.
6. В. П. Бессмелльцев, В. Н. Буриашов, В. В. Воробьев. Вычитатели частот на интегральных логических схемах.— «Автометрия», 1975, № 5, с. 90—91.

Поступило в редакцию 20 апреля 1976 г.